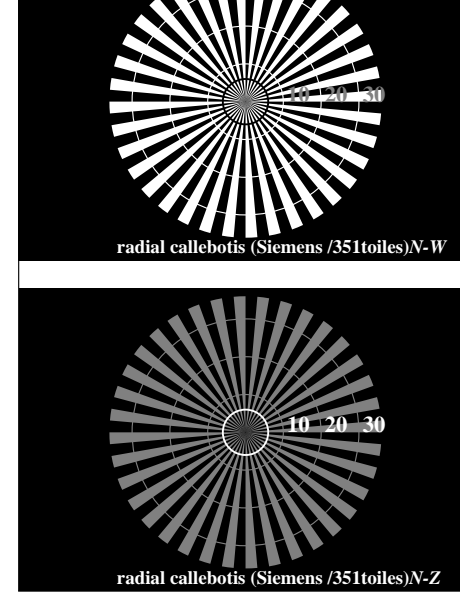
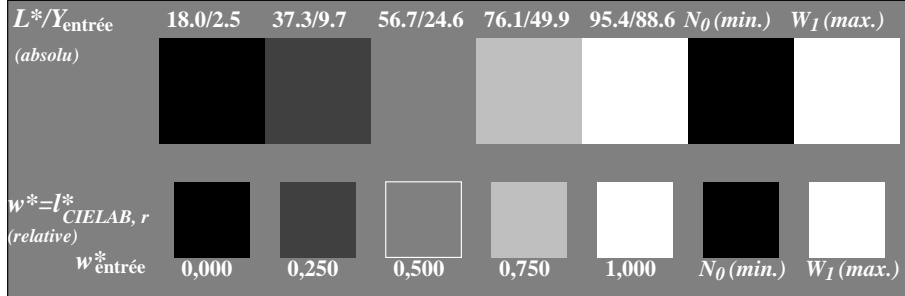


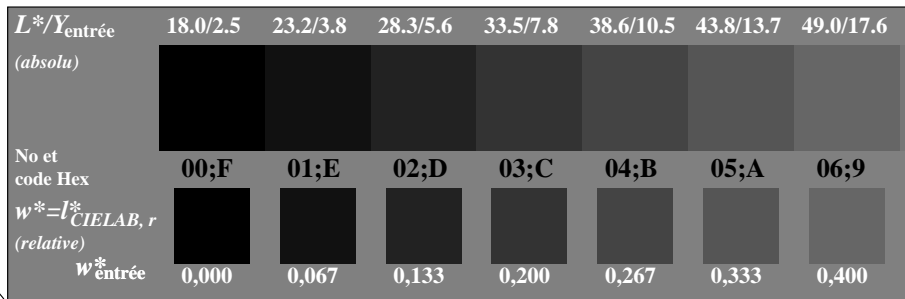
voir fichiers similaires: <http://130.149.60.45/~farbmefrik/RF99/RF99L0NP.PDF /PS>
informations techniques: <http://www.ps.bam.de> ou <http://130.149.60.45/~farbmefrik/RF99/RF99.HTML>



RF990-3, Fig. A1W-: Élément A: radial calibotis N-W, W-N, N-Z et W-Z; PS operator: $w^* setgray$

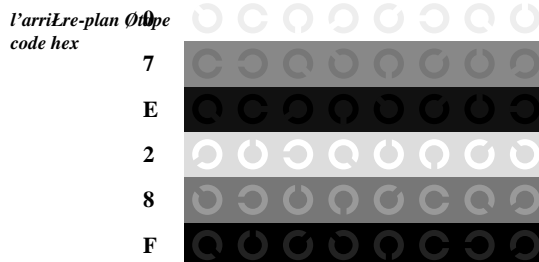


RF990-5, Fig. A2W-: Élément B: 5 équidistants L^* gris étapes + $N_0 + W_1$; PS operator: $w^* setgray$

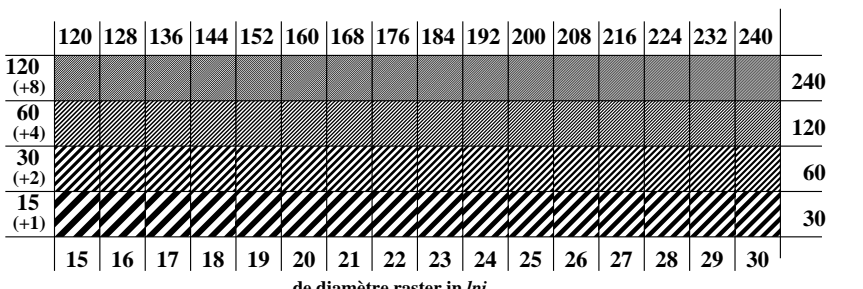


RF990-7, Fig. A3W-: Élément C: 16 équidistants L^* gris étapes; PS operator: $w^* setgray$

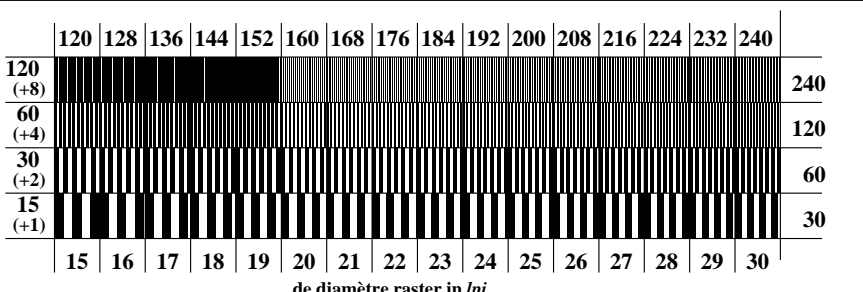
graphique RF99; ME16(ISO 9241-306), 3(ISO/IEC 15775)
achromatic graphique de test N



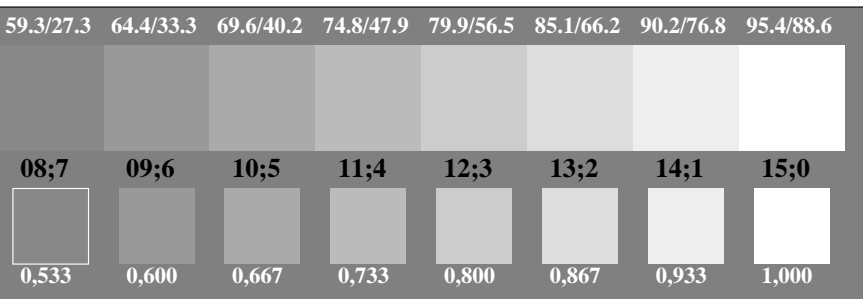
RF991-1, Fig. A4W-: Élément D: anneaux Landolt W-N; PS operator: $w^* setgray$



RF991-3, Fig. A5W-: Élément E: Linge raster sous 45° (ou 135°) degré; PS operator: $w^* setgray$



RF991-5, Fig. A6W-: Élément F: Linge raster sous 90° (ou 0°) degré; PS operator: $w^* setgray$



entrée : $rgb/cmyk \rightarrow rgb/cmyk$
sortie : aucun changement